

фазу. Экспериментально подтвержден несобственный характер этого сегнетоэлектрика, спонтанная поляризация которого располагается в плоскости спайности кристалла.

### Список литературы

- [1] Демина Л. А., Долгих В. А., Поповкин Б. А., Стефанович С. Ю. и др. // Тез. докл. Всес. конф. физико-химические основы технологии получения сегнетоэлектриков и родственных материалов. Звенигород, 1990. С. 18.
- [2] Simon A., Raves J., Hagenmuller P., Frit B. // Solid State Commun. 1979. V. 29. P. 815—819.
- [3] Долгих В. А., Демина Л. А., Стефанович С. Ю., Поповкин В. А. и др. // Изв. АН СССР, неорг. матер. 1985. Т. 21. № 3. С. 469—471.
- [4] Avramenko V. P., Kidzin A. Ju., Reprentcheva S. P., Sadovskaya L. Ja., Sokolian-skii G. X. // Ferroelectrics. 1988. V. 82. P. 173—178.
- [5] Кучка В. В., Хомич А. В., Кравченко В. Б., Перов П. И. // Изв. АН СССР, неорг. матер. 1984. Т. 29. № 2. С. 314—318.
- [6] Леонов А. П., Стефанович С. Ю. // Получение и применение сегнето- и пьезоматериалов в народном хозяйстве. М., МДНТП, 1984. С. 24—26.
- [7] Стефанович С. Ю., Струков Б. А., Веневцев Ю. Н. // Оптика анизотропных сред. М., МФТИ. 1985. С. 57—60.
- [8] An American National Standard: IEEE Standard on Piezoelectricity. Std., 1976—1978.

Днепропетровский государственный университет  
им. 300-летия  
воссоединения Украины с Россией

Поступило в Редакцию  
1 ноября 1990 г.

УДК 621.315.592

© Физика твердого тела, том 33, № 7, 1991  
Solid State Physics, vol. 33, N 7, 1991

## КАРБИД КРЕМНИЯ, ОБЛУЧЕННЫЙ ВЫСОКИМИ ДОЗАМИ НЕЙТРОНОВ

A. A. Лепнева, Е. Н. Мохова, В. Г. Одинг, А. С. Трегубова

Введение радиационных дефектов (РД) в SiC путем нейтронного облучения позволяет управлять получать этот материал с высокой степенью компенсации [1]. К тому же РД в SiC являются центрами эффективной излучательной рекомбинации в зеленой (политип 6H) или голубой (политип 4H) областях спектра [1, 2], что представляет интерес в связи с созданием светодиодов.

Нейтронное облучение в принципе перспективно и для трансмутационного легирования SiC фосфором [3]. Однако информация по нейтронному облучению полупроводникового SiC ограничивалась преимущественно диапазоном доз  $10^{17}$ — $10^{19}$  см $^{-2}$ . Между тем результаты работ [4, 5] однозначно указывают на то, что природа дефектных центров, их термическая стабильность в значительной степени определяются именно величиной дозы облучения. Несмотря на это, влияние высоких доз нейтронного облучения  $\Phi \geq 10^{20}$  см $^{-2}$  на свойства SiC изучено недостаточно.

В настоящей работе исследованы оптическое пропускание, люминесценция, а также структурное совершенство и химическая активность монокристаллического SiC, облученного высокими дозами реакторных нейтронов ( $\Phi = 10^{20} \div 10^{21}$  см $^{-2}$ ), что позволило установить условия облучения, приводящие к аморфизации кристалла.

Использовались образцы SiC, выращенные методом Лели, политипов 6H и 15R, n-типа проводимости с концентрацией нескомпенсированных доноров ( $N_D - N_A = 1 \cdot 10^{17} \div 3 \cdot 10^{18}$  см $^{-3}$ ). Образцы имели низкую плотность дислокаций  $\sim 10^{-2}$  см $^{-2}$ . Облучение кристаллов нейтронами проводилось в реакторе промышленного типа, причем доля потока быстрых нейтронов составляла 10 %.

Для изучения оптических параметров брались образцы SiC, вырезанные из одного монокристалла, которые затем облучались разными дозами нейтронов. Спектры оптического пропускания (ОП) поляризованного света ( $E \parallel C$ ) снимались при  $T=300$  К. Анализ спектра был несколько затруднен из-за эффекта интерференции, обусловленной тем, что толщина образцов была соизмеримой с длиной волны падающего света.

На рис. 1 приведены кривые ОП образцов SiC политипа 6H, облученных различными дозами реакторных нейтронов, в ИК области спектра, где проявляются особенности, обусловленные колебаниями кристаллической решетки, в сравнении со спектром необлученного образца, который имеет традиционный вид, объясняемый одно- и многофононными процессами поглощения света [6, 7]. Этот спектр условно можно разделить на две области, из которых первая ( $1700-700$  см $^{-1}$ ) одинакова для всех политипов.

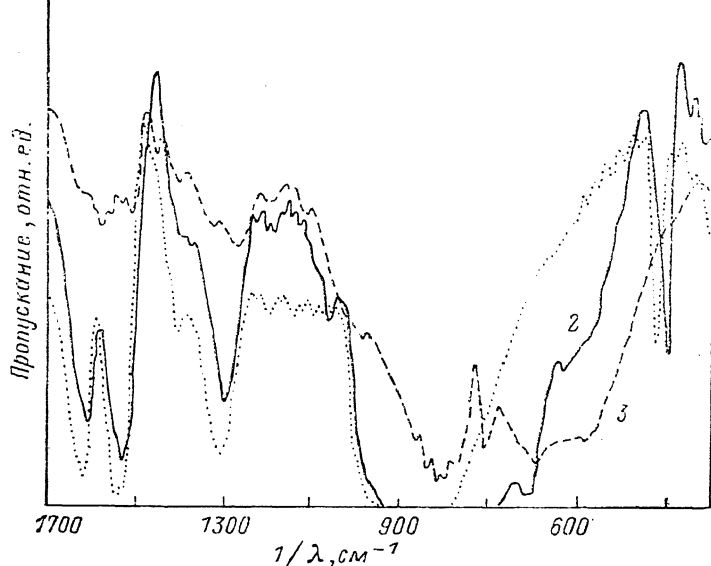


Рис. 1. Спектры пропускания 6HSiC необлученных образцов (1) и образцов, облученных потоком нейтронов  $\Phi_B=10^{20}$  (2) и  $10^{21}$  см $^{-2}$  (3).  $T=300$  К,  $E \parallel C$ .

типных модификаций SiC и определяется в основном ближайшим тетраэдрическим окружением в решетке SiC. Вторая область ( $700-400$  см $^{-1}$ ) зависит от структуры политипа, т. е. отражает наличие дальнего порядка взаимодействия в решетке SiC [8]. Облучение SiC нейтронами при  $\Phi \leq 1 \cdot 10^{20}$  см $^{-2}$  приводит к сдвигу максимума решеточных полос поглощения в сторону меньших энергий (рис. 1, таблица). Причем наиболее информативным объектом для наблюдения влияния облучения на решетку SiC являются полосы поглощения, связанного с дополнительными фононами. В случае 6H SiC в исследуемый нами диапазон частот попадает такая полоса при  $1/\lambda \sim 500$  см $^{-1}$ , которая объясняется поглощением аксиальным фононом с приведенным волновым вектором  $x=0.67$  в большой зоне [9].

Облучение нейтронами дозой  $\Phi=10^{20}$  см $^{-2}$  вызывает смещение максимума этой полосы на  $\Delta E \sim 0.6$  мэВ. В случае политипа 15R наблюдаемая нами полоса поглощения дополнительным аксиальным фононом с приведенным волновым вектором  $x=0.8$  в большой зоне также при облучении претерпевает сдвиг, который для  $\Phi=10^{20}$  см $^{-2}$  составляет  $E \sim 0.7$  мэВ (см. таблицу).

При увеличении дозы нейтронов до значений  $\Phi \simeq 10^{21}$  см $^{-2}$  происходит исчезновение в спектре ОП 6H SiC полосы, обусловленной дополнительным фононом с  $x=0.67$  (рис. 1, кривая 3). Однако суммарные фонон-

ные полосы, еще более смещенные в сторону меньших энергий, при  $\Phi \approx 10^{21} \text{ см}^{-2}$  сохраняются. Последнее свидетельствует в пользу того, что облучение  $\Phi \approx 1 \cdot 10^{21} \text{ см}^{-2}$  приводит к очень сильным повреждениям кристаллической решетки, к ее частичной аморфизации, при которой исчезает влияние дальнего порядка во взаимодействии атомов, а колебательный спектр решетки SiC в этом случае определяется лишь ближайшим тетраэдрическим окружением.

Рентгенографические исследования нейтронно облученных образцов методом аномального прохождения рентгеновских лучей не выявили вплоть до доз  $\Phi \approx 10^{20} \text{ см}^{-2}$  существенного изменения кристаллической структуры. На топограммах были видны только локальные области мелких нарушений деформационного типа, локализованных преимущественно

Зависимость положения максимумов полос поглощения для политипов  $6H$  и  $15R$ , обусловленных дополнительными фононами с  $\lambda = 0.67$  ( $6H$ ) и  $0.8$  ( $15R$ ), от дозы облучения реакторными нейтронами ( $\Phi_n$ )

$\Phi_n, \text{ см}^{-2}$	$\lambda_{\max}^{6H}, \text{ см}^{-1}$	$\lambda_{\max}^{15R}, \text{ см}^{-1}$
Необлученный образец	509	574
$10^{17}$	—	573
$10^{18}$	508	572
$10^{19}$	—	570
$10^{20}$	503	567
$10^{21}$	Полоса поглощения не обнаружена	—

в приповерхностной области толщиной  $\sim 20$  мкм. Однако при  $\Phi \approx 1 \cdot 10^{21} \text{ см}^{-2}$  происходило резкое ухудшение структурного совершенства образца, что проявилось в исчезновении дифракционной картины, характерной для эффекта аномального прохождения рентгеновских лучей.

Этот результат также подтверждает вывод о частичной утрате дальнего порядка в SiC, облученном высокими дозами нейтронов.

К тому же заключению приводят и данные по изучению химической активности образцов SiC в зависимости от дозы облучения нейтронами. Как известно [10], скорость травления SiC в расплавах щелочей сильно различается в полярных направлениях  $\langle 0001 \rangle$  (более чем в 10 раз). Анизотропия скорости травления полярных граней  $\{0001\}$  сохраняется и в облученных нейтронами кристаллах вплоть до дозы  $\Phi \approx 1 \cdot 10^{20} \text{ см}^{-2}$ , хотя и имеет тенденцию к уменьшению. Но при дальнейшем увеличении  $\Phi > 1 \cdot 10^{20} \text{ см}^{-2}$  происходит резкое увеличение скорости травления медленно травящейся  $(0001)$  Si грани, которая практически сравнивается со скоростью травления грани  $(0001)C$ . При этом практически утрачиваются специфические особенности морфологии поверхностных граней.

Таким образом, вся совокупность результатов указывает на наличие вблизи дозы  $\Phi \approx 1 \cdot 10^{21} \text{ см}^{-2}$  перехода к аморфному состоянию. Величина этой пороговой дозы несколько ниже, чем в случае облучения быстрыми электронами ( $\Phi_e = 10^{22} \div 10^{23} \text{ см}^{-2}$ ) [11], что совершенно естественно, учитывая более высокую скорость генерации точечных дефектов нейтронами по сравнению с электронами.

Последующая термообработка облученных образцов при температуре отжига  $T > 1000^\circ\text{C}$  приводит к восстановлению кристаллической решетки. Однако спектр люминесценции кристаллов, облученных высокими дозами  $\Phi \approx 1 \cdot 10^{21} \text{ см}^{-2}$ , сильно отличается от обычно наблюдаемого при меньших

дозах облучения. Это хорошо видно на рис. 2, на котором даны спектры катодолюминесценции (КЛ) образцов SiC, облученных разными дозами нейтронов с последующей термообработкой. Так, в спектрах образцов, облученных дозой  $\Phi \approx 1 \cdot 10^{21} \text{ см}^{-2}$ , практически отсутствует характерная полоса, обусловленная центрами  $D_1$  [1, 2]. Вместо нее при 80 К наблюдается красная полоса с  $\lambda_{\max} \approx 730 \text{ нм}$ . С ростом температуры до 300 К происходит увеличение ширины спектра за счет коротковолновой составляющей, а максимум излучения сдвигается в желтую область ( $\lambda_{\max} = 630 \div 650 \text{ нм}$ ). Температурная зависимость КЛ дана на рис. 2, а;

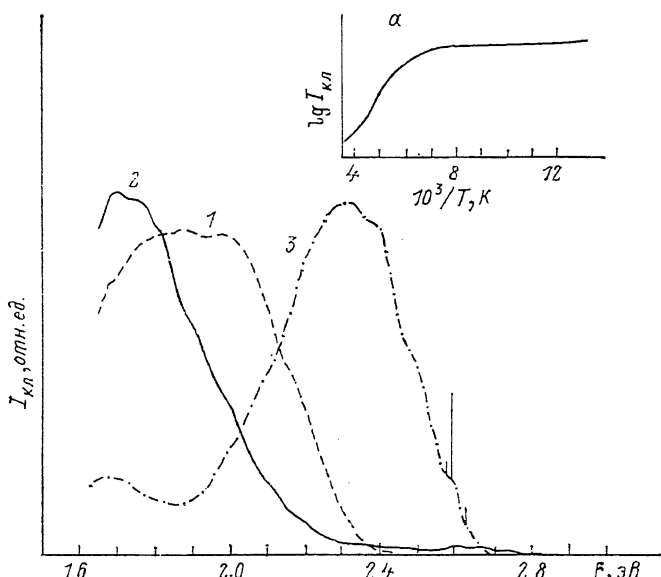


Рис. 2. Спектры катодолюминесценции при  $T=300$  (1) и  $80 \text{ К}$  (2, 3) образцов  $6H\text{SiC}$ , подвергнутых облучению нейтронами дозой  $\Phi_1=10^{21}$  (1, 2) и  $\Phi_2=10^{13} \text{ см}^{-2}$  (3).

а — Температурная зависимость интенсивности катодолюминесценции в максимуме  $\lambda=730 \text{ нм}$ .

определенная из него энергия активации тушения  $\Delta E \approx 0.09 \text{ эВ}$ , а подъем интенсивности КЛ при  $T > 250 \text{ К}$  соответствует росту «желтой» полосы КЛ.

Для решения вопроса о природе «красной» полосы излучения в сильно облученных нейтронами образцах SiC требуется дополнительное исследование.

Сдвиг спектра дефектной КЛ в длинноволновую область в принципе может быть обусловлен присутствием узкозонного политипа 3С, образование которого неоднократно фиксировалось при отжиге аморфизированных слоев, формирующихся при облучении частицами высоких энергий [10]. Однако полученные нами данные по исследованию облученных кристаллов SiC методом оптического пропускания и рамановского рассеяния показывают, что после отжига при  $T_a > 2000^\circ\text{C}$  в основном восстанавливается структура исходного политипа 6Н.

#### Список литературы

- [1] Вейнгер А. И., Лепнева А. А., Ломакина Г. А., Мохов Е. Н., Соколов В. И. // ФТП. 1984. Т. 18. № 11. С. 2014—2019.
- [2] Бодаков Ю. А., Ломакина Г. А., Мохов Е. Н., Рамм М. Г., Соколов В. И. // ФТП. 1986. Т. 20. № 12. С. 2153—2158.
- [3] Вейнгер А. И., Забродский А. Г., Ломакина Г. А., Мохов Е. Н. // ФТТ. 1986. Т. 28. № 6. С. 1659—1664.
- [4] Гирка А. И., Мокрушин А. Д., Мохов Е. Н., Осадчиев В. М., Свирида С. В., Шишкян А. В. // ЖЭТФ. 1990. Т. 97. № 2. С. 578—590.
- [5] Кюйт Р. Н., Лепнева А. А., Ломакина Г. А., Мохов Е. Н., Третубова А. С., Шеглов М. М., Юлдашев Г. Ф. // ФТТ. 1988. Т. 30. № 9. С. 2606—2610.

- [6] Patrick L., Choyke W. J. // Phys. Rev. 1961. V. 123. N 3. P. 813—815.  
[7] Spitzer W. G., Kleinman D. A., Walsh D. // Phys. Rev. 1959. V. 113. N 1. P. 127—132.  
[8] Дубровский Г. Б., Лепнева А. А. Проблемы физ. и технол. широкозонных полупроводников. Л., 1979. С. 288—293.  
[9] Patrick L. // Phys. Rev. 1968. V. 167. N 3. P. 809—813.  
[10] Карклина М. И., Сайдбеков Д. Т. // Неорг. матер. 1972. Т. 8. № 2. С. 378—380.  
[11] Inui H., Mori H., Fujita H. // Phil. Mag. B. 1990. V. 61. N 1. P. 107—124.

Физико-технический институт  
им. А. Ф. Иоффе  
Ленинград

Поступило в Редакцию  
14 декабря 1990 г.

© Физика твердого тела, том 33, № 7, 1991  
Solid State Physics, vol. 33, N 7, 1991

## РЕНТГЕНОДИФРАКЦИОННОЕ ИССЛЕДОВАНИЕ СТРУКТУРЫ ГРАНИЦЫ Si—NaNO<sub>2</sub>

П. А. Александров, А. А. Нefедов, В. А. Чапланов, С. С. Якимов

Присталый интерес к исследованию поверхности кремния, покрытого пленкой сегнетоэлектрика, связан с возможностью накопления аномально большого заряда на границе между полупроводником и сегнетоэлектриком и соответственно создания на этой границе сверхсильных электрических полей [1]. В данной работе с помощью метода асимптотической брэгговской дифракции (АБД) рентгеновских лучей [2] обнаружено уменьшение межплоскостного расстояния в переходном слое на поверхности монокристалла кремния при нанесении пленки NaNO<sub>2</sub> и увеличение толщины этого слоя. Наблюдаемые изменения обратимы, поэтому маловероятно, что они связаны с диффузией атомов в глубь кристалла. Наиболее естественной причиной наблюдаемых изменений представляется сильное электрическое поле, индуцированное пленкой сегнетоэлектрика.

Измерения интенсивности рентгеновского пучка, дифракционно отраженного кристаллом в широком угловом диапазоне (метод АБД), дают возможность получения важной физической информации о структурном совершенстве приповерхностных слоев кристалла и границ раздела [3]. В этих условиях волны, дифракционно рассеянные на внутренних слоях совершенного кристалла, последовательно гасят друг друга. Таким образом, дифракционное рассеяние при больших отклонениях  $\alpha = \theta - \theta_B$  угла падения рентгеновских лучей  $\theta$  от угла Брэгга  $\theta_B$  формируется в приповерхностном слое, толщина  $l$  которого становится тем меньше, чем больше  $\alpha$

$$l = \lambda / 4\pi a \cos \theta_B,$$

где  $\lambda$  — длина волны используемого излучения. Метод трехкристальной рентгеновской дифрактометрии, в основе которого лежит прецизионный анализ углового распределения отраженного рентгеновского пучка, позволяет отделить чисто дифракционное рассеяние от сопутствующего ему диффузного рассеяния на дефектах кристаллической структуры. Он дает возможность проводить измерения в угловом диапазоне порядка 0.02 рад и достичь разрешения по толщине анализируемого слоя до долей нанометра.

Поверхность кристаллов кремния, ориентированных параллельно кристаллографическим плоскостям (100), обработана по стандартной микрэлектронной технологии. Слои NaNO<sub>2</sub> толщиной от 4 до 8 мкм (для разных образцов различной) выращивались из расплава по методике, описанной в работе [4].